

## طراحی و تولید رده سلولی بیان کننده ژن‌های 5' UTR و NS3 از عامل اسهال ویروسی گاوها (BVDV) به منظور ارزیابی کارایی روش‌های درمانی علیه این ویروس

اعظم مختاری<sup>۱</sup> امید مددگار<sup>۱\*</sup> محمد معصومی<sup>۲</sup> محمدرضا محزونیه<sup>۳</sup> آرش قلیانچی لنگرودی<sup>۱</sup>

۱) گروه میکرو بیولوژی و ایمونولوژی، دانشکده دامپزشکی دانشگاه تهران، تهران - ایران

۲) گروه زیست فناوری دام و آبزیان، پژوهشگاه ملی مهندسی ژنتیک و زیست فناوری ایران، تهران - ایران

۳) گروه پاتوبیولوژی، دانشکده دامپزشکی دانشگاه شهرکرد، شهرکرد - ایران

(دریافت مقاله: ۴ مهر ماه ۱۳۹۳، پذیرش نهایی: ۲۸ آذر ماه ۱۳۹۳)

### چکیده

**زمینه مطالعه:** عامل مولد اسهال ویروسی گاو (BVDV) عامل مضرات اقتصادی، بهداشتی قابل توجهی در مزارع پرورش گاو است. به دلیل ناکارآمدی نسبی برنامه‌های ریشه‌کنی این ویروس، در سال‌های اخیر برای مبارزه با آن تدابیر متعددی در زمینه‌های فراوانی به کار گرفته شده است. یکی از روش‌های ارزیابی کیفیت این تدابیر، استفاده از این ابزارهای ضد ویروسی در رده‌های سلولی اختصاصی بیان کننده آن ژن از طریق القای بیان ژن توسط پلاسمید حامل یا عفونت با وکتورهای ویروسی است. **هدف:** این مطالعه با هدف تهیه یک رده سلولی بسیار بیان کننده بخشی از ژنوم BVDV برای ارزیابی کارآمدی روش‌های درمانی و پیشگیرانه علیه این ویروس انجام شد. **روش کار:** بدین منظور پس از کشت سوبیه استاندارد ADL از BVDV و استخراج vRNA، افزوده سازی ژن‌های کد کننده 5' UTR و NS3 از ژنوم این ویروس و سپس کلونینگ این قطعات ژنی در پلاسمید لنتی ویروسی pWPI-linker B در فرادست ژن GFP انجام شد. پس از تأیید کلونینگ، لنتی وکتورهای حاوی BVDV-5'UTR و BVDV-NS3 در سلول‌های 293T با استفاده از سیستم packaging نسل سوم تولید شدند. در مرحله بعد سلول‌های MDBK بیان کننده دائمی 5' UTR و NS3 با استفاده از عفونت با لنتی ویروس‌های بیان کننده BVDV-5'UTR و BVDV-NS3 تولید گردیدند. **نتایج:** کارآمدی عفونت با لنتی وکتورهای حامل ترانس ژن با ژنوم‌های مشاهده مستقیم با میکروسکوپ فلورسنت، وسترن بلاتینگ و RT-PCR بررسی و با گروه کنترل مقایسه گردید و حضور و بیان ژن‌های مورد نظر تأیید شد. **نتیجه‌گیری نهایی:** نتایج نشان دهنده تولید موفقیت آمیز رده سلولی MDBK بسیار بیان کننده این دو ژن از BVDV بود و لنتی وکتورها به دلیل بیان طولانی مدت و پایدار ژن تا چندین نسل سلولی امکان عفونی نمودن بسیاری از رده‌های سلولی نسبت به سایر وکتورهای ویروسی ارجحیت دارند.

**واژه‌های کلیدی:** BVDV، عفونت، لنتی وکتور، MDBK، ترانسفکشن

پروتئین‌های زیر را به ترتیب از انتهای آمینی به سمت کربوکسیل تولید می‌کند:

NS2-NS3 (NS23)-NS4A-NS4B-NS5A-NS5B-COOH  
NH2-N<sup>pro</sup>-C-E<sup>ms</sup>-E1-E2-p7

NS3 به عنوان مارکر cpBVDV شناخته شده و با فعالیت سرین پروتئاز در انتهای آمینی خود ژنوم ویروس را در جایگاه‌های کلیواژ NS3/NS4A NS4A/NS4B, NS4B/NS5A, NS5A/NS5B, می‌دهد. علاوه بر این NS3 فعالیت نوکلئوزید تری فسفاتاز و RNA هلیکاز هم دارد. بیان NS2-3 در ویروس‌های سایتوپاتیک و غیر سایتوپاتیک برای تشکیل ویریون‌های عفونی ضروری است. فعالیت پروتئاز NS3 در عفونت cpBVDV در سلول‌های آلوده سبب القای مرگ برنامه ریزی شده سلول می‌شود. مشخص شده است که ۱۵ آمینواسید انتهای آمینی NS3 در به راه انداختن آبشار پروتئولیتیک آپوپتوز ناشی از عفونت BVDV نقش دارند (۱۸، ۲۴، ۲۷). منطقه ی 5' UTR به طول ۳۷۰ b، ثابت ترین و حفاظت شده ترین ناحیه ی ژنوم این ویروس در طول تکامل بوده و شامل یک توالی ورود به ریبوزوم داخلی (IRES) است. این توالی ساختار ثانویه مهمی برای ترجمه ORF، تنظیم رونویسی ژنوم و بیان ژن است و

### مقدمه

عامل مولد اسهال ویروسی گاو (BVDV) یکی از مهمترین عوامل ویروسی بیماری‌زای گاو و مسبب زیان‌های اقتصادی تأمل برانگیز ناشی از کاهش بازده تولید، ناکارآمدی و به تعویق افتادن برنامه‌های تولید مثل و تبعات منتج از تضعیف سیستم ایمنی در گاوهای مبتلا (۵، ۹، ۱۰) در سراسر جهان است. این ویروس بر اساس توانایی آسیب رساندن به سلول‌های میزبان دارای دو بیوتیپ سایتوپاتیک (cp) و غیر سایتوپاتیک (ncp) و بر مبنای تفاوت در توالی نوکلئوتیدی واجد دو ژنوتیپ 1-BVDV و 2-BVDV می‌باشد (۷، ۱۱، ۲۶). قطر تقریبی ویریون‌های آن ۵۰ nm بوده و واجد کپسید بیست و جهی و غشاء است. ژنوم این ویروس RNA تک رشته‌ای با سنس مثبت، فاقد کلاهک ترجمه و حدوداً ۱۲/۵ Kb بوده و یک چهارچوب قرائت باز (ORF) به طول ۴۰۰۰ کدون و دو منطقه ترجمه نشونده (UTRs) در دو انتهای 3' و 5' دارد (۲، ۱۴، ۲۸). ORF در این ویروس برای یک پیش ساز پلی پروتئینی رمز صادر می‌کند که همزمان یا پس از ترجمه توسط پروتئازهای ویروس یا سلول دچار کلیواژ شده و



BVDV-NADL به هر چاهک از پلیت ۶ خانه کشت سلول اضافه گردید. سپس سلول ها به مدت یک ساعت در دمای  $37^{\circ}\text{C}$  انکوبه و هر روز برای مشاهده اثرات سایتوپاتیک مورد ارزیابی قرار گرفتند. پس از مشاهده CPE سلول ها برای استخراج RNA ویروسی آماده شدند.

**استخراج BVDV-RNA با استفاده از کیت QIAzol (برای این کار از کیت QIAzol (QIAGEN)، آلمان، شماره کاتالوگ: ۷۹۳۰۶ استفاده شد. به طور خلاصه):** پس از دو بار شستشوی سلول ها با  $\text{PBS}1\times$ ، سلول ها تریپسینه شدند و به ازای هر خانه از پلیت ۶ خانه  $500\ \mu\text{L}$  کبازول به رسوب سلولی اضافه گردید و با دور  $1000\ \text{rpm}$  به مدت ۵ دقیقه سانتریفیوژ شد. به ازای هر  $500\ \mu\text{L}$  کبازول استفاده شده،  $150\ \mu\text{L}$  کلروفورم به اپندروف اضافه شده و به مدت ۱۵ دقیقه با  $13000\ \text{rpm}$  در  $4^{\circ}\text{C}$ ، سانتریفیوژ انجام گردید. فاز رویی به میکروتیوب جدیدی منتقل شده و مرحله ی قبل یکبار دیگر تکرار گردید تا اطمینان بیشتری از خلوص RNA جدا شده وجود داشته باشد. سپس فاز رویی به میکروتیوب جدیدی منتقل شد و به میزان دو برابر حجم آن اتانول و یا ایزوپروپانول سرد مطلق اضافه شد و یک شب در دمای  $20^{\circ}\text{C}$  قرار گرفت. سپس نمونه به مدت ۱۵ دقیقه در دمای  $4^{\circ}\text{C}$  و با  $13000\ \text{rpm}$  سانتریفیوژ گردید. پس از شستشو با  $1\ \text{mL}$  اتانول ۷۵٪ و تبخیر اتانول، بر حسب اندازه ی رسوب مقدار  $50\text{--}100\ \mu\text{L}$  آب عاری از RNase اضافه شده و کاملاً پبیپتاژ گردید. سپس تریتمنت با DNase در حجم  $50\ \mu\text{L}$  شامل  $10\ \mu\text{g}$  از RNA استخراج شده،  $5\ \mu\text{L}$  بافر  $1\times$  مربوط به DNase I از  $1\ \mu\text{L}$  از DNase (Ambion، آمریکا، شماره کاتالوگ: AM2222) و آب عاری از RNase انجام شد. سپس جذب نوری نمونه با واحد نانو گرم در میکرو لیتر در طول موج  $260\ \text{nm}$  قرائت شد و نمونه های RNA تا زمان انجام واکنش RT-PCR، در دمای  $70^{\circ}\text{C}$  - نگهداری گردیدند.

#### RT-PCR به منظور افزودن سازی BVDV NS3 و BVDV 5'UTR:

واکنش RT با استفاده از کیت Invitrogen (N8080234) Reagents/TaqMan Reverse Transcription، آلمان، شماره کاتالوگ: N8080234) طبق دستورالعمل کیت انجام شد. به طور خلاصه، واکنش در حجم  $10\ \mu\text{L}$  و شامل  $1\ \mu\text{L}$  از بافر  $10\times\text{RT}$ ،  $2\ \mu\text{L}$  از  $25\ \text{mM}$   $\text{MgCl}_2$ ،  $2\ \mu\text{L}$  از  $10\ \text{mM}$   $\text{dNTP}$ ،  $0.5\ \mu\text{L}$  از  $10\times\text{Random hexamers}$ ،  $0.2\ \mu\text{L}$  از مهارکننده RNase،  $25\ \mu\text{L}$  از آنزیم رونوشت بردار معکوس ( $50\ \text{U}/\mu\text{L}$ ) و مقدار محاسبه شده از RNA الگو و آب عاری از DNase/RNase ( $1\ \mu\text{L}$ ) و آب دیونیزه ی استریل بود. برنامه ی دمایی واکنش RT عبارت بود از:  $25^{\circ}\text{C}$  به مدت ۱۰ دقیقه،  $48^{\circ}\text{C}$  به مدت ۳۰ دقیقه و  $95^{\circ}\text{C}$  به مدت ۵ دقیقه. cDNA سنتز شده تا زمان انجام PCR در دمای  $20^{\circ}\text{C}$  - نگهداری شد.

برای انجام آزمون PCR طراحی پرایمرها با استفاده از نرم افزار gene runner و برای توالی های مربوط به انتهای آمینی یا سرین پروتئاز از NS3 (۳۷۹۰-۴۰۰۰) و نیز 5'UTR (۳۸۶ باز ابتدایی ژنوم) از NC001461 BVDV-NADL (ac. no: استفاده از بانک ژن NCBI انجام شد. برای

بخش هایی مرتبط با حدت ویروس دارد (۱۹). با در نظر گرفتن وظایف عملکردی ویژه این دو بخش از ژنوم، این نواحی برای تولید یک رده سلولی جهت ارزیابی استراتژی های ضد این ویروس انتخاب گردید. در سال های اخیر برای مبارزه با BVDV استراتژی های مختلف ضد ویروسی نظیر ژن درمانی به فراوانی به کار گرفته شده است (۱۷، ۱۳، ۱۱). یکی از راه های تأیید کیفیت ابزارهای درمانی یا کنترلی طراحی شده علیه یک ژن، ارزیابی این مولکول ها در رده های سلولی اختصاصی بیان کننده آن ژن است (۶). برای این کار، در این مطالعه وکتورهای لنتی ویروسی بیان کننده این دو ژن با استفاده از سیستم بسته بندی لنتی ویروسی نسل سوم تهیه شدند و برای آلوده سازی دائمی رده سلولی MDBK به کار گرفته شدند. لنتی ویروس ها در بخشی از چرخه زندگی، ژنوم خود را در ژنوم میزبان ادغام می کنند و بنابراین می توانند ابزاری برای بیان طولانی مدت یک ترانس ژن را حتی برای تمام عمر فراهم کنند. وکتورهای لنتی ویروسی تغییر یافته هستند به طوری که تنها تعداد محدودی از ژن های مورد نیاز ویروس در ژنوم وکتور مهندسی شده وجود دارد و با همین تعداد اندک ژن های ضروری، ادغام پایدار ژنوم وکتور ویروسی در ژنوم میزبان فراهم می شود. با این استراتژی، ژن نوترکیب مورد نظر به طور مداوم بیان می گردد اما ویروس عفونی تولید نمی شود. برای ایجاد چنین وکتور ویروسی، یکی از جدیدترین روش ها وارد نمودن اجزای مختلف ژنوم در سه یا چهار پلاسمید مختلف و متعاقباً ترانسفکشن همزمان این پلاسمیدها برای تولید یک ویروس در یک رده سلولی مناسب است. با در نظر گرفتن پایداری عفونت القا شده توسط لنتی وکتورها و همچنین قابلیت ورود این وکتورها در تعداد بسیار زیادی از رده های سلولی (۲۲)، در این مطالعه از این وکتورها برای تولید رده ی سلولی MDBK بیان کننده ی BVDV NS3 و BVDV 5'UTR استفاده شد.

#### مواد و روش کار

**کلونینگ دو ژن در وکتور لنتی ویروسی pWPI-Linker B (کشت ویروس BVDV در رده ی سلولی بیضه ی گاو (BT=Bovine testicular cell line):** به منظور استخراج و ازدیاد ژن های 5'UTR و NS3 از ژنوم BVDV آزمون RT-PCR انجام شد. برای این کار سو به استاندارد BVDV-NADL (NC-001461) از آزمایشگاه مرجع سلامت حیوانات sekans دانشگاه آنکارا (بزرگواری دکتر فرجی) تهیه گردید. رده سلولی بیضه گاو (BT=Bovine testicular cell line) تهیه شده از مؤسسه سرم و واکسن سازی رازی کشت داده شد. محیط کشت DMEM (محصول GIBCO، آمریکا، به شماره کاتالوگ ۱۱۶-۱۲۸۰۰) + ۱۰٪ FBS (محصول GIBCO، آمریکا، به شماره کاتالوگ ۱۰۶-۱۰۲۷۰) + streptomycin + ۱x penicillin (محصول Sigma، آمریکا به شماره کاتالوگ ۱۱۶-۱۲۸۰۰) به عنوان محیط نگهداری سلول ها استفاده گردید. ۲۴ ساعت پس از کشت (در زمان ۹۰٪ تراکم سلولی)،  $100\ \mu\text{L}$  از مایع کشت سلولی حاوی ویروس



افزوده سازی BVDV NS3 از پرایمرهای 3'-GGG ACT AGT TTA TAG TC-5' و 5'-CGC CAC A GA TCT ACC GC AAG TTA TAG TC-3' استفاده گردید. در دو انتهای پرایمر طراحی شده برای تکثیر این ژن جایگاه عمل آنزیم *Bgl/III* تعبیه گردید. شرایط دمایی PCR عبارت بود از: ۹۵°C به مدت ۲ دقیقه که با ۳۰ چرخه دمایی ۹۵°C به مدت ۳۰ ثانیه، ۶۹/۷°C به مدت ۳۵ ثانیه و ۷۲°C به مدت ۳۵ ثانیه دنبال شد و در نهایت یک مرحله نهایی ۷۲°C به مدت ۵ دقیقه وجود داشت. برای ازدیاد BVDV 5'UTR از پرایمرهای 3'-TCC ACC A CTCGTAT ACG TAT TGG G C و 5'-CGC GGA ACA CA GAG AT -3' با جایگاه عمل *BamHI* و 5'-GTT C C C G G GC GT CCA TGT SmaI استفاده شد و شرایط دمایی PCR عبارت بود از: ۹۵°C به مدت ۲ دقیقه، ۳۰ چرخه دمایی ۹۵°C به مدت ۳۰ ثانیه، ۷۰/۷°C به مدت ۳۵ ثانیه، ۷۲°C به مدت ۴۵ ثانیه و در نهایت یک مرحله نهایی ۷۲°C به مدت ۵ دقیقه. کنترل مثبت تهیه شده از نمایندگی آزمایشگاه‌های دامپزشکی و سلامت حیوانات (AHVLA) در انگلستان (بزرگواری دکتر فالتکو اشتینباخ و دکتر دستجردی) و منفی در هر آزمون PCR مورد استفاده قرار گرفتند. محصولات PCR پس از الکتروفورز در ژل آگارز ۱٪/۵ و رنگ آمیزی با اتیدیوم بروماید در کنار مارکر سایز ۱۰۰bp (Fermentas، آلمان) مشاهده شد.

افزوده سازی BVDV NS3 از پرایمرهای 3'-GGG ACT AGT TTA TAG TC-5' و 5'-CGC CAC A GA TCT ACC GC AAG TTA TAG TC-3' استفاده گردید. در دو انتهای پرایمر طراحی شده برای تکثیر این ژن جایگاه عمل آنزیم *Bgl/III* تعبیه گردید. شرایط دمایی PCR عبارت بود از: ۹۵°C به مدت ۲ دقیقه که با ۳۰ چرخه دمایی ۹۵°C به مدت ۳۰ ثانیه، ۶۹/۷°C به مدت ۳۵ ثانیه و ۷۲°C به مدت ۳۵ ثانیه دنبال شد و در نهایت یک مرحله نهایی ۷۲°C به مدت ۵ دقیقه وجود داشت. برای ازدیاد BVDV 5'UTR از پرایمرهای 3'-TCC ACC A CTCGTAT ACG TAT TGG G C و 5'-CGC GGA ACA CA GAG AT -3' با جایگاه عمل *BamHI* و 5'-GTT C C C G G GC GT CCA TGT SmaI استفاده شد و شرایط دمایی PCR عبارت بود از: ۹۵°C به مدت ۲ دقیقه، ۳۰ چرخه دمایی ۹۵°C به مدت ۳۰ ثانیه، ۷۰/۷°C به مدت ۳۵ ثانیه، ۷۲°C به مدت ۴۵ ثانیه و در نهایت یک مرحله نهایی ۷۲°C به مدت ۵ دقیقه. کنترل مثبت تهیه شده از نمایندگی آزمایشگاه‌های دامپزشکی و سلامت حیوانات (AHVLA) در انگلستان (بزرگواری دکتر فالتکو اشتینباخ و دکتر دستجردی) و منفی در هر آزمون PCR مورد استفاده قرار گرفتند. محصولات PCR پس از الکتروفورز در ژل آگارز ۱٪/۵ و رنگ آمیزی با اتیدیوم بروماید در کنار مارکر سایز ۱۰۰bp (Fermentas، آلمان) مشاهده شد.

**خالص سازی محصول PCR به روش دستی:** به ازای هر ۲۰μL محصول PCR، ۲μL سدیم استات (۳ M)، ۲μL محلول EDTA (۱۲۵mM) و ۵۰μL اتانول مطلق اضافه شده و ۳۰ دقیقه در تاریکی در دمای ۴°C قرار گرفت. پس از ۱۵ دقیقه سانتریفیوژ با دور ۱۳۰۰۰ rpm، ۶۰μL مایع رو به آرامی برداشته شده و دور ریخته شد. سپس با ۷۰μL اتانول ۷۰٪ شستشو انجام شده و پس از تخییر کامل اتانول، رسوب در ۲۰μL-۱۰ آب دیونیزه ی استریل حل شده و جذب نوری آن در طول موج ۲۶۰nm قرائت گردید.

**برش پلاسمید، لیگاسیون:** پلاسمید لنتی ویروسی Linker B-pWPI تهیه شده از مرکز تحقیقات زیست-پزشکی و (IMIM) در اسپانیا (بزرگواری دکتر Fabien Delaspre) توسط آنزیم‌های اندونوکلاز محدود کننده *BamHI* (محصول Roche، آلمان، شماره کاتالوگ: ۱۰۲۲۰۶۱۲۰۰۱) و *SmaI* (محصول Roche، آلمان، شماره کاتالوگ: ۱۰۲۲۰۵۶۶۰۰۱) برش داده شد. برای این کار بسته به برش منفرد یا دوگانه پلاسمید در یک ویال ۱μL پلاسمید با غلظت ۱μg/μL-۰/۵، ۲μL بافر ۱۰x مربوط به آنزیم و ۱μL آنزیم (یا ۱۰/۵ از دو آنزیم) اضافه شد و با آب عاری از نوکلئاز به حجم ۲۰μL رسید و یک شب در دمای ۳۷°C برای هضم منفرد و ۳۰°C برای هضم دوگانه قرار گرفت. پس از تأیید صحت برش با الکتروفورز در ژل ۰/۸٪، واکنش لیگاسیون انجام شد. ۲μL از T4 بافر ۱۰x (فرمنتاز، آلمان، شماره کاتالوگ: B69)، ۲μL محلول ۵۰٪ از PEG-4000 (فرمنتاز، آلمان)، ۱μL (۵ U) آنزیم T4 DNA ligase (فرمنتاز، آلمان، شماره کاتالوگ:

**ترانسفورماسیون محصول Ligation:** محصولات Ligation به صورت مجزا در Competent Cell مناسب (Stbl4) به روش شوک حرارتی ترانسفورم گردید. به طور خلاصه به هر ۱۰۰μL از باکتری‌های مستعد ۱۰μL از محصول لیگاسیون اضافه شد و پس از یک ورتکس کوتاه، ۳۰ دقیقه روی یخ، ۹۰ ثانیه در بن ماری ۴۲°C و مجدداً، ۵۵ دقیقه بر روی یخ قرار گرفت. پس از آن، به هر ویال ۹۰۰μL محیط LB بدون آنتی بیوتیک اضافه شده و ۶۰-۴۵ دقیقه در شیکر انکوباتور ۳۷°C با دور ۲۰۰rpm قرار گرفت. سپس، باکتری‌ها در ۶۰۰۰ rpm به مدت ۳ دقیقه سانتریفیوژ شدند. رسوب باکتری‌ها پس از حل شدن در ۱۰۰μL محیط، بر روی یک پلیت LB آگار حاوی ۱۰۰mg/mL آمپی سیلین به صورت یکنواخت کشت داده شد. پلیت به مدت ۱۶-۱۴ ساعت در انکوباتور ۳۷°C قرار داده شد. برای اطمینان از صحیح بودن ترانسفورماسیون، از کنترل مثبت (Stbl4) و اجاد Linker B-pWPI مقاوم به آمپی سیلین) و منفی (فقط Stbl4) استفاده شد.

**Colony PCR:** پس از کشت باکتری‌های ترانسفورم شده، ۱۰ عدد تک کلون از هر پلیت به طور جداگانه به یک میکروتیوب PCR حاوی ۴μL آب دیونیزه استریل منتقل گردید. ۱μL از هر میکروتیوب، به فالکون ۱۵mL حاوی ۲mL محیط LB و اجاد ۱۰۰mg/mL آمپی سیلین اضافه شده و جهت رشد باکتری‌ها به مدت ۱۰-۶ ساعت در شیکر انکوباتور ۳۷°C با دور ۲۰۰-۱۸۰ rpm قرار داده شد. ۳μL باقی مانده از محلول تک کلون، جهت انجام واکنش PCR استفاده گردید. آزمون PCR برای هر ژن مطابق شرایط ذکر شده در بخش ۳-۱ انجام شد. در صورت مشاهده ی باند مورد نظر، از پیش کشت تهیه شده از همان کلونی در LB Broth و اجاد Amp، پلاسمید نو ترکیب به روش Mini preparation of DNA استخراج گردید و صحت کلونینگ با الکتروفورز در ژل آگارز ۰/۸٪ شد. برای تأیید کلی پروسه کلونینگ انجام شده، به ازای هر پلاسمید نو ترکیب، دو محصول استخراج پلاسمید به منظور تعیین توالی به شرکت تکاپوزیست ارسال گردید.

**تولید لنتی ویروس:** به منظور تولید لنتی ویروس‌های بیان کننده ژن‌های مورد نظر از BVDV، ترانسفکشن سلول‌های HEK-293T با پلاسمیدهای بیان کننده ی ژن‌های اصلی لنتی ویروس در سیستم بسته بندی نسل سوم به روش Salmon و همکاران در سال ۲۰۰۶ (۲۲) انجام شد. بدین منظور سلول‌ها ترپسینه و شمارش شدند. به ازای هر پلیت ۱۰Cm، ۴ × ۱۰<sup>۶</sup> سلول ریخته شد. روز بعد، ۲ ساعت قبل از ترانسفکشن، محیط سلول‌ها با ۷ ml محیط DMEM-high glucose + FBS ۱۰٪ (بدون پنسیلین - استرپتومایسین) تعویض گردید. مخلوط DNA، شامل ۱μg از ۴ pMD2G (*Env VSVG*)، ۷/۵μg از PsPax2 (*Gag-Pol*)، ۱۱μg از



تعداد سلول های بذر پاشی شده بر مبنای اطلاعات به دست آمده از مقالات برای آلوده سازی سلول های MDBK مقدار MOI بین ۰/۵ تا ۲ برای عفونت کارآمد این سلول ها مناسب است (۲۵).

در این مطالعه در ابتدا با MOI = ۰/۵ آلوده نمودن سلول های MDBK انجام شد، ولی کفایت عفونت با لنتی وکتور راضی کننده نبود. لذا، با در نظر گرفتن احتمال عدم تحمل سلول های MDBK نسبت به عفونت با مقادیر بالای لنتی وکتور، MOI را به صورت پلکانی افزایش دادیم و در نهایت با MOI = ۰/۸، کفایت آلوده نمودن سلول های MDBK با لنتی وکتور موفقیت آمیز بود به نحوی که بالای ۹۵٪ بیان GFP دیده شد.

**آلوده سازی سلول ها با لنتی وکتور:** پس از تریپسینه نمودن و شمارش سلول های MDBK با لام هموسایتومتر، در هر خانه از پلیت ۶ خانه،  $3 \times 10^5$  سلول در ۱ mL محیط  $10\% \text{FBS} + \text{Pen-Strep} 1x$  با DMEM high بذر پاشی شد. ۲۴ ساعت بعد ۱ mL محیط حاوی ویروس با MOI = ۰/۸ و ۱ mL از محیط  $10\% \text{FBS} + \text{Pen-Strep} 1x$  high glucose + ۳٪ DMEM به هر خانه اضافه گردید. برای افزایش بازده آلودگی سلول ها، ۲ μL پلی برن ( $8 \mu\text{g}/\mu\text{L}$ ) به ازای هر خانه استفاده شد. به ازای هر ژن و هر مقدار مایع ویروسی ۲ تکرار در نظر گرفته شد. در جاهکهای کنترل منفی ژن ها، برای هر ژن، ویروسی اضافه نشد و در جاهک کنترل مثبت ژن ها BVDV-NADL تلقیح گردید. پس از ۱۲ ساعت انکوباسیون در دمای ۳۷°C، محیط سلول ها با محیط تازه  $1x \text{ Penicillin streptomycin} + 3\% \text{FBS}$  DMEM+ ۳٪ تعویض گردید. ۴۸ و ۷۲ ساعت پس از عفونت، سلول ها با استفاده از میکروسکوپ فلورسنت مشاهده و عکس برداری شدند.

RT-PCR-۲ به منظور تأیید تولید سلول های MDBK بیان کننده BVDV NS3 و BVDV 5'UTR برای تأیید تولید سلول های MDBK بیان کننده BVDV-NS3 و BVDV-5'UTR آزمون PCR برای هر ژن انجام شد.

استخراج RNA به کمک کیازول از جاهک های تست و کنترل واکشن RT، تریتمنت با DNase و آزمون PCR به شرح ذکر شده در بخش های ۳-۱ و ۲-۱، انجام شد با این تفاوت که برای انجام آزمون PCR مجدداً طراحی پرایمر برای توالی های ذکر شده در بخش ۳-۱ با استفاده از نرم افزار Beacon designer انجام پذیرفت. پس از استخراج RNA و تریتمنت با DNase، جذب نوری نمونه ها در طول موج ۲۶۰ nm توسط دستگاه اسپکتروفتومتر نانودراپ لایت (محصول شرکت Thermo Scientific، آمریکا) قرائت گردید. مقادیر جذب نوری قرائت شده و نسبت  $260/280$  بر بررسی آلودگی نشان دهنده استخراج موفقیت آمیز و بدون آلودگی نمونه های RNA بود. برای افزوده سازی BVDV NS3 از پرایمرهای 3'-GCT GC -3' و 5'-CAT AGG TAG GCG TGA CCC AAC R: استفاده گردید. شرایط دمایی PCR عبارت بود از: ۹۵°C به مدت ۲ دقیقه که با ۳۰ چرخه ی دمایی ۹۵°C

پلاسمید نو ترکیب pWPI-Linker B تهیه شده از مرکز تحقیقات زیست-پزشکی و (IMIM) در اسپانیا (بزرگواری دکتر Fabien Delaspre) و آب دیونیزه ی استریل به حجم کلی ۳۸۰/۵ μL آماده شد. سپس طی دو مرحله ۱۰/۵ μL و ۴۴ μL محلول CaCl<sub>2</sub> ۲M به آن اضافه گردید.

سپس، به ازای هر پلیت ۱۰ سانتی μL ۴۳۵ محلول HBS 1x شامل ۱۰۰ μL از HBS 10x (محتوی HEPES محصول Sigma، آمریکا، شماره کاتالوگ: H2375، NaCl، محصول Sigma، آمریکا، شماره کاتالوگ: ۷۳۵۷۵ و آب دیونیزه ی استریل تا حجم ۵۰ mL)، ۲۰ μL از بافر فسفات (۹۶۵g/۰/۹۶۵g Na<sub>2</sub>HPO<sub>4</sub>.2H<sub>2</sub>O / ۲۴۶g، NaH<sub>2</sub>PO<sub>4</sub>.H<sub>2</sub>O)، ۱۵ μL از 1N NaOH، pH = ۸/۶) و ۸۶۵ μL از آب دیونیزه ی استریل آماده شد. مخلوط پلاسمیدها و کلسیم کلرید، به آرامی و به صورت قطره قطره در حالت هوادهی به محلول HBS به ۴۳۵ μL از این محلول اضافه گردید. مخلوط ۲۰ دقیقه در دمای اتاق قرار گرفت و سپس قطره قطره به سلول های T293، اضافه شد. ۱۲ ساعت بعد، محیط سلول ها به آرامی برداشته شده و با ۵ mL محیط تازه  $1x \text{ Penicillin streptomycin} + 3\% \text{FBS} + \text{glucose}$  (DMEM-high) تعویض گردید. ۴۸ و ۷۲ ساعت بعد از ترانسفکشن، محیط روی سلول ها برداشت شده و به منظور حذف بقایای سلولی مرده، به مدت ۵ دقیقه با ۳۰۰۰ rpm سانتریفیوژ شد. سپس مایع را پس از تقسیم در ویال های ۱/۵ mL آماده و تا زمان آلوده سازی سلول ها در ۷۰°C نگهداری گردید.

**تعیین تیتر ویروس ها:** تعداد  $3 \times 10^5$  سلول ۲۹۳T، در هر چاهک از پلیت ۶ خانه (ژلاتینه شده) ریخته شده و با مقدار ۱ mL از محیط های ویروسی بیان کننده دو ژن  $5' \text{UTR}$  و  $NS3$  آلوده گردید. از محیط کشت  $5\% \text{FBS} + \text{DMEM high glucose}$  برای رشد سلول ها استفاده شد. ۱۲ ساعت بعد محیط سلول ها با محیط تازه  $10\% \text{FBS} + \text{DMEM high glucose}$  تعویض گردید. ۴۸ و ۷۲ ساعت بعد، با استفاده از میکروسکوپ فلورسنت، سلول ها مشاهده شده، عکس برداری انجام گردید و درصد سلول های GFP مثبت تخمین زده شد. در همین زمان ها تعویض محیط با  $1x \text{ Penicillin streptomycin} + 3\% \text{FBS} + \text{DMEM}$  انجام پذیرفت و تیتر ذرات لنتی ویروسی بر اساس واحد ترانسفکشن در هر میلی لیتر (TU/mL) محاسبه گردید و در نهایت بر مبنای (of infection) MOI (multiplicity) مورد نظر، حجم لنتی وکتور مورد نیاز برای آلوده نمودن سلول های MDBK محاسبه شد.

تعداد ذرات ویروسی در هر میلی لیتر محیط (TU/ml) = (حجم ویروس استفاده شده به mL / رقت ویروس) × (۱۰۰/درصد سلول های GFP مثبت) × (تعداد سلول های بذر پاشی شده  $3 \times 10^5$ ).

نسبت تعداد ذرات ویروسی به ازای یک سلول (MOI) به صورت زیر محاسبه می شود:

$$\text{MOI} = T \times V / N$$

T: تیتر ویروس (TU/mL)، V: حجم وکتور لنتی ویروسی در mL، N:





قرار گرفته و برای انتقال به ژل SDS-PAGE آماده شدند.  
**SDS-PAGE**: برای انجام SDS-PAGE در دستگاه BIO-RAD (محصول آمریکا، شماره کاتالوگ: ۲۹۴۰-۱۶۵) ژل پائین یا تفکیک کننده ۱۲٪ شامل ۴/۴ mL از H<sub>2</sub>O دو بار تقطیر، ۲/۵ mL از ۱/۵ M Tris-HCL، pH = ۸/۸ از ۳ mL از ۴۰٪ Acryl/Bis، ۱۰۰ μL از ۱۰٪ SDS، ۱۰۰ μL از ۱۰٪ APS و ۷/۵ μL از TEMED و ژل بالا یا متراکم کننده ۵٪ شامل ۲/۵ mL از H<sub>2</sub>O دو بار تقطیر، ۵/۵ mL از ۱/۵ M Tris-HCL، pH = ۶/۸ از ۴/۴ mL از ۴۰٪ Acryl/Bis، ۱۰۰ μL از ۱۰٪ SDS، ۱۰۰ μL از ۱۰٪ APS و ۴/۴ μL از TEMED آماده شد.

از TGS به عنوان Running buffer استفاده گردید و ۴۰ μL نمونه و کنترل های منفی و مثبت به ترتیب شامل سلول های MDBK فاقد لنتی و کتور حاوی ژن نو ترکیب و آلوده شده به BVDV- NADL حاوی ۵۰-۸۰ میکروگرم از نمونه پروتئینی به آرامی درون چاهک Load گردید. ۶ μL از لدر پروتئین (محصول فرمنتاز، آلمان، شماره کاتالوگ SM0671) به عنوان مارکر سایز استفاده شد. ژل به مدت یک ساعت تحت ولتاژ ثابت ۱۵۰V-۱۲۰ قرار گرفت و پس از خروج بروموفنل بلو از ژل بلافاصله الکتروفورز قطع گردید.

**Blotting** یا لکه برداری: پس از تهیه ساندویچ بلا تینگ و قرار دادن آن در تانک BIO-RAD حاوی بافر سرد انتقال شامل ۱۰۰ mL بافر ۱۰ مرتبه غلیظ (۱ M Glycine و ۱۰۰ mM Tris)، ۲۰۰ mL متانول و ۷۰۰ mL آب دو بار تقطیر مرحله لکه برداری به صورت شبانه در سردخانه با آمپراژ ثابت ۶۰-۷۰ mA انجام شد.

**واکنش ایمونولوژیکی**: پس از دو مرتبه شستشوی غشای PVDF، هر بار به مدت ۵ دقیقه با TBST (شامل ۱۰۰ mL TBS 10X، ۲۰۱ mL Tween ۲۰، ۹۰۰ mL آب دو بار تقطیر) غشاء به وسیله ی محلول بلوکه کننده BSA (۵٪ در TBST) در دمای اطاق به مدت ۲ ساعت بر روی شیکر قرار گرفت. پس از شستشوی غشاء سه مرتبه و هر بار به مدت ۱۰ دقیقه با استفاده از TBST بر روی شیکر، غشای غوطه ور در مونوکلونال آنتی بادی اولیه ضد BVDV-NS3 تهیه شده در موش (محصول Santa Cruz، آمریکا، شماره کاتالوگ: sc-۱۰۱۵۹۲) تولید شده در موش و حل شده در محلول TBST حاوی ۲/۵٪ BSA (به نسبت ۱/۲۰۰) به مدت یک شب در سردخانه، بر روی شیکر انکوبه شد. پس از سه مرتبه شستشوی غشاء، واکنش آنتی بادی ثانویه با استفاده از غلظت ۱/۲۰۰۰ از آنتی بادی ثانویه ضد IgG موش تهیه شده در خرگوش و کونژوگه شده با HRP (محصول Santa Cruz، آمریکا، شماره کاتالوگ: sc-۲۵۸۹۱۴) در محلول TBST حاوی ۲/۵٪ BSA (محصول MERCK، آلمان، شماره کاتالوگ: ۱۲۰۱۸) بر روی غشاء در حال چرخش به مدت ۴۵ دقیقه تا یک ساعت انجام شد. پس از شستشوی غشاء برای واکنش سوبسترا با آنزیم پراکسیداز از کیت ECL (محصول شرکت زیست فن آوران نجم، ایران) مطابق دستور شرکت سازنده در اتاق تاریک استفاده شد. غشاء در تاریکخانه به مدت های

به مدت ۳۰ ثانیه، ۶۰°C به مدت ۳۰ ثانیه و ۷۲°C به مدت ۳۰ ثانیه دنبال شد و در نهایت یک مرحله نهایی ۷۲°C به مدت ۵ دقیقه وجود داشت. برای ازدیاد 5'UTR BVDV از پرایمرهای 3'-GTC GTC AGT GGT TC-3' و 5'-AGG TTA AGA TGT GCT TTG GG-3' و F: 5'-AGG GTA R: استفاده شد و شرایط دمایی PCR عبارت بود از: ۹۵°C به مدت ۲ دقیقه، ۳۰ چرخه دمایی ۹۵°C به مدت ۳۰ ثانیه، ۵۵°C به مدت ۳۰ ثانیه، ۷۲°C به مدت ۳۰ ثانیه و در نهایت یک مرحله نهایی ۷۲°C به مدت ۵ دقیقه. کنترل های منفی (MDBK آلوده نشده به وکتور) و کنترل مثبت (MDBK آلوده شده به BVDV- به بخش ۳-۱ رجوع شود). در هر آزمون PCR مورد استفاده قرار گرفتند. محصولات PCR پس از الکتروفورز در ژل آگارز ۱/۵٪ و رنگ آمیزی با اتیدیوم بروماید در کنار مارکر سایز ۱۰۰ bp (Fermentas، آلمان) مشاهده شد. با توجه به چندین مرحله شستشو و تعویض محیط در سیستم بسته بندی لنتی و کتورهای حاوی ژن های BVDV 5'UTR و BVDV NS3 در رده ی سلولی 293T و سانتریفیوژ و فیلتراسیون فیلترهای ۰/۲۲ مایع حاوی لنتی و ویروس های تولید شده، می شود و چندین مرحله شستشو و تعویض محیط در زمان تیتراسیون و اینفکشن، احتمال حضور پلاسمید لنتی و ویروسی حاوی ژن های 5'UTR BVDV و BVDV NS3 به اندازه تقریبی ۱۱ kb در مایع نهایی حاوی لنتی و ویروس ها بسیار کم است. برای این افزوده سازی BVDV NS3 از پرایمرهای 3'-GGAC-3' و F: 5'-ACAAGTTCAGCGTGTCCG-3' استفاده گردید. شرایط دمایی PCR عبارت بود از: ۹۵°C به مدت ۵ دقیقه که با ۳۰ چرخه دمایی ۹۵°C به مدت ۳۰ ثانیه، ۵۸/۴°C به مدت ۴۵ ثانیه و ۷۲°C به مدت ۳۰ ثانیه دنبال شد و در نهایت یک مرحله نهایی ۷۲°C به مدت ۱۰ دقیقه وجود داشت. کنترل مثبت، نمونه cDNA تهیه شده از RNA استخراج شده از سلول های 293T ترانسفکت شده با وکتور pWPI Linker B استفاده شد.

**واکنش بلا تینگ (استخراج پروتئین)**: برای بررسی بیان ژن NS3 در سطح پروتئین آزمون وسترن بلات با استفاده از آنتی بادی مونوکلونال ضد این پروتئین انجام شد. بدین منظور در ابتدا استخراج پروتئین به روش دستی و با استفاده از بافر Ripa (شامل ۱۵۰ mM NaCl، ۱٪ NP40، ۱۰۰ mM EDTA و ۲ mM Tris-HCl، pH = ۸، ۱۰٪ SDS، ۱۰٪ DOC دو بار تقطیر) به همراه pmsf (محصول Roche، آلمان، شماره Lot: ۷۰۲۹۹۷۲۲)، DTT (محصول Roche، آلمان، شماره کاتالوگ: ۱۰۱۹۷۷۷۷۰۰۱)، کوکتل مهار کننده ی پروتئاز (محصول Roche، آلمان، شماره کاتالوگ: ۱۱۸۳۶۱۵۳۰۰۱) هر یک به میزان ۱۰ μL انجام شد. پس از پروتئین سنجی به روش برادفورد- لوری، نمونه های پروتئین به نسبت مناسب (غلظت نهایی ۵۰ μg) به بافر نمونه (Tris-HCl pH=6.8، ۱۵٪ SDS، ۶۲/۵ mM برموفنول بلو، ۱/۰٪ گلیسرول، ۱۰٪ بتامرکاپتواتانول و آب) اضافه شده و به مدت ۵ دقیقه در دمای ۱۰۰°C



انجام روش های تأیید مولکولی، در نهایت به ازای هر وکتور لنتی ویروسی نو ترکیب تولید شده دو محصول استخراج پلاسمید به همراه پرایمرهای NS3-F و NS3-R و 5'UTR-F و 5'UTR-R برای تعیین توالی به شرکت تکاپوزیست ارسال شد. هم ترازوی توالی گرفته شده از خوانش سکانس پلاسمید با امپلیکون مورد انتظار به خوبی کفایت کلونینگ انجام شده را تأیید نمود.

**تولید لنتی ویروس:** ۴۸ و ۷۲ ساعت بعد از ترانسفکشن پلاسمیدهای لنتی ویروسی ذکر شده در بخش ۸-۱ ادر قالب سیستم بسته بندی نسل سوم، محیط روی سلول ها برداشت شده و ۷۲ ساعت پس از ترانسفکشن با مشاهده توسط میکروسکوپ فلورسنت درصد GFP سلول ها که نشان دهنده کارآمدی ترانسفکشن و تولید لنتی وکتور در مقدار قابل قبول برای عفونت زایی بعدی است به میزان تقریبی ۸۰-۷۰٪ قرائت گردید (تصویر ۳).

**آلوده سازی سلول ها با لنتی ویروس:** سلول ها ۴۸ و ۷۲ ساعت پس از عفونت، با استفاده از میکروسکوپ فلورسنت مشاهده و عکس برداری شدند. به دلیل کارآمدی بالای عفونت و درصد GFP بالای ۹۷٪، این سلول ها به عنوان کلون سلولی بیان کننده دوزن BVDV NS3 و 5'UTR BVDV از دیبا شده و در دمای ۱۹۶<sup>o</sup> - برای آزمایشات بعدی نگهداری شدند (تصویر ۴).

**RT-PCR به منظور تأیید تولید سلول های MDBK بیان کننده BVDV NS3 و 5'UTR BVDV:** محصولات PCR انجام شده روی نمونه های RNA استخراج گردیده از سلول های MDBK که توسط لنتی ویروس های بیان کننده BVDV NS3 و 5'UTR BVDV آلوده شده بودند و همچنین RNA مستخرج از کنترل منفی (MDBK آلوده نشده به وکتور) و کنترل مثبت (MDBK آلوده شده به BVDV) پس از الکترو فورز در ژل آگارز ۱/۵٪ و رنگ آمیزی با اتید یوم بروماید در کنار مارکر ساینز مشاهده شدند. باندهای تأیید کننده (NS3: ۸۷ bp) و (UTR: ۶۸ bp) مشاهده گردید (تصویر ۵).

**وسترن بلاتینگ:** پس از خشک شدن فیلم باندهای سیاه رنگ در روی فیلم که محل واکنش سوبسترا با آنزیم و نشان دهنده حضور پروتئین NS3 بود در محل چاهک های حاوی پروتئین استخراج شده از سلول های MDBK آلوده به BVDV به عنوان کنترل مثبت و پروتئین استخراج شده از سلول های MDBK آلوده به لنتی وکتورهای بیان کننده BVDV-NS3 serine تخمین وزن مولکولی تقریبی ۱۵kDa با استفاده از مارکر پروتئین مورد تأیید قرار گرفت در عین حال با اثر دادن آنتی بادی مونوکلونال ضد آلفا توبولین به عنوان پروتئین کنترل داخلی صحت استخراج پروتئین مورد تأیید قرار گرفت. حضور باند ۵۵ کیلو دالتونی صحت استخراج پروتئین از سلول را تأیید نمود. (تصویر ۶).

۳۰ ثانیه، یک، ۵ و ۱۰ دقیقه در تماس با فیلم عکاسی قرار گرفت و فیلم مجاور شده با غشاء به مدت های ۵، ۱۰، ۲۰ دقیقه به ترتیب در ظروف محلول ظهور، آب شستشوی ظهور، محلول ثبوت و آب شستشوی ثبوت قرار داده شد. به منظور اطمینان از صحت استخراج پروتئین، واکنش ایمونولوژیکی بر روی غشا با استفاده از آنتی بادی مونوکلونال اولیه ضد پروتئین کنترل آلفا توبولین تهیه شده در موش (محصول Sigma، آمریکا، شماره کاتالوگ: T۹۰۲۶) تکرار گردید و حضور باند مربوط به این پروتئین مورد بررسی قرار گرفت.

## نتایج

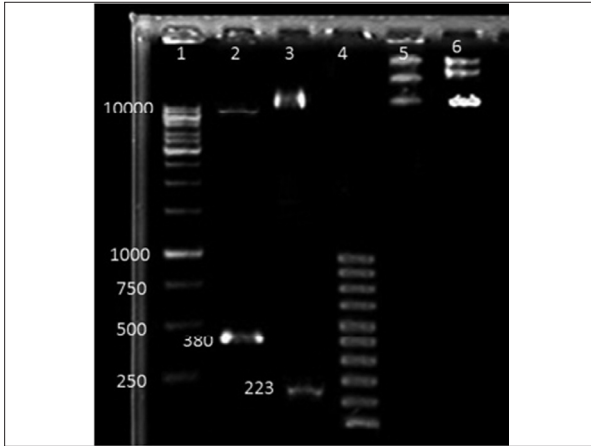
**کلونینگ دوزن BVDV NS3 و BVDV 5'UTR در وکتور لنتی ویروسی pWPI-Linker B، RT-PCR به منظور افزوده سازی NS3 BVDV و 5'UTR BVDV، برش پلاسمید:** پس از الکترو فورز محصولات PCR و رنگ آمیزی با اتید یوم بروماید باندهای مورد نظر مربوط به 5'UTR BVDV- (۴۸۰bp) و باند مربوط به BVDV- NS3 (۲۲۳bp) در نمونه های مربوط به سلول های آلوده شده به BVDV و نمونه های کنترل با استفاده از مارکر ساینز تشخیص داده شد. صحت برش پلاسمید pWPI-Linker B با مقایسه ی اندازه و تفاوت الگوی باندهای مربوط به پلاسمید B-Linker - pWPI برش داده نشده با اندازه ۱۱۱۰۱ bp و همین پلاسمید برش خورده با آنزیم توسط الکترو فورز محصول در ژل ۱٪ مورد بررسی قرار گرفت و حاکی از برش صحیح پلاسمید مورد نظر بود (تصویر ۱).

**Colony PCR:** پس از انکوباسیون محصولات ترانسفورماسیون pWPI-LinkerB-NS3 و pWPI-LinkerB-5'UTR در Stb14 و کنترل های مثبت و منفی کشت داده شده در LB آگار واجد آمپی سیلین در دمای ۳۷<sup>o</sup> به مدت یک شب کلونی های واجد محصول ligation و کنترل مثبت (حاوی پلاسمید pWPI-LinkerB مقاوم به آمپی سیلین و تأیید شده در آزمایشات قبلی) در محیط کشت قابل تشخیص بودند اما در Plate کنترل منفی (Stb14 بدون محصول ligation) کلونی مشاهده نشد.

صحت کلونینگ با الکترو فورز محصول PCR در ژل آگارز ۰/۸٪ و مشاهده ی باندهای مورد انتظار برای هر ژن (5'UTR، ۳۸۰ bp، NS3، ۲۲۳bp) مورد تأیید اولیه قرار گرفت. پس از استخراج پلاسمید از کلونی های واجد نتیجه مثبت در Colony PCR صحت استخراج پلاسمید و وجود قطعه مورد نظر در پلاسمیدهای نو ترکیب تولید شده که در این مطالعه pWPI-Linker B-NS3 و pWPI-Linker B-5'UTR نامیده شد با برش توسط آنزیم های اندونوکلاز BamHI برای NS3-B و pWPI-Linker B-5'UTR برای BamHI و SmaI و سپس الکترو فورز محصول استخراج شده در ژل ۰/۸٪ تأیید گردید. (تصویر ۲).

پس از استخراج پلاسمید به روش Mini preparation of DNA



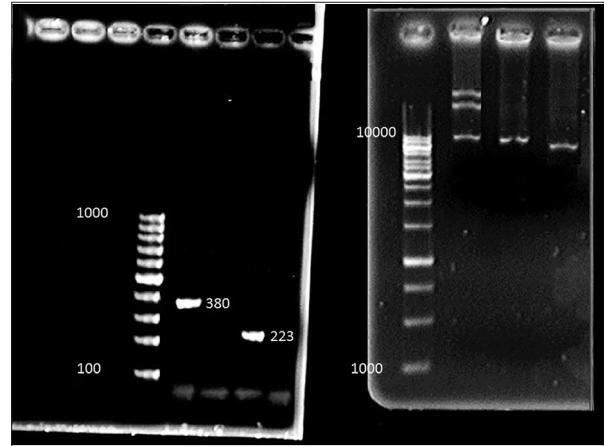


تصویر ۲. تأیید تولید پلاسمیدهای نو ترکیب B-5'UTR و pWPI-Linker B-NS3. از چپ به راست: مارکر سایز (1kb)، pWPI-Linker B-5'UTR، پبرش خورده، pWPI-Linker B-NS3، مارکر سایز (100bp)، پبرش خورده، pWPI-Linker B-NS3، مارکر سایز (100bp)، پبرش خورده، pWPI-Linker B-NS3، پبرش خورده.

می رسد.

در مطالعات انجام شده بر مبنای ژن درمانی در ویروس های خانواده فلاوی ویریده تقریباً تمامی نواحی ژنوم ویروس مورد هدف قرار گرفته است اما به دلیل ثابت ماندن توالی کد کننده 5'UTR در روند تکاملی ویروس یا نقش های عملکردی ویژه پروتئین های NS2-3، NS3، NS5A و NS5B بیشتر توجه به این بخش ها بوده است. بر مبنای مطالعات انجام گرفته در مورد کارآمدی مهار هر یک از این پروتئین ها در ممانعت از عفونت های ناشی از ویروس های این خانواده، در پژوهش حاضر بخش های NS3 و 5'UTR، به دلیل حفاظت شده بودن در طول تکامل و نقش های زیست شناختی ویژه در تکثیر، بقا و حدت ویروس برای کلونینگ در پلاسمید لنتی ویروسی به منظور ارزیابی ژن درمانی های بعدی انتخاب شدند (۲۷، ۲۶، ۲۰، ۲۰، ۱۵، ۱۳، ۱۱، ۱۰).

در عین حال برای پایدار کردن بیان ژن های مورد نظر در سلول ها و افزایش طول مدت بیان و انتقال این ویژگی به نسل بعد از وکتور های لنتی ویروسی با سیستم بسته بندی نسل سوم برای تحویل ژن های مورد نظر به سلول هدف استفاده شد. به منظور القای بیان ژن در سلول های هدف از ترانسفکشن وکتور پلاسمید نیز استفاده شده است اما تداوم بیان ژن ارائه شده از طریق وکتور های پلاسمید حداکثر ۱۰-۴ روز و کوتاه مدت می باشد در حالیکه وکتور های ویروسی سبب القای پایدار تر و کارآمد تر بیان ژن مورد نظر می شوند. وکتور های ویروسی از نظر پایداری و سهولت ترانسفکشن، نسبت به سایر وکتورها ارجحیت دارند. در عین حال تروپیسیم سلولی آنها بیشتر بوده و وسعت عمل افزونتری دارند. در مقالات مروری بررسی وکتور های مختلف انتقال ژن توان عملیاتی آنها (خصوصاً اگر لنتی ویروس باشند) بسیار زیاد ارزیابی شده است. وکتور هایی نظیر لنتی وکتورها که قابلیت ادغام ژنوم خود در ژنوم سلول ها را دارند القای بیان بسیار پایدار تر



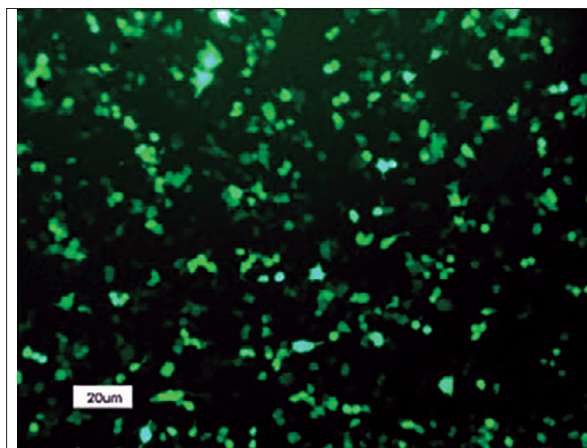
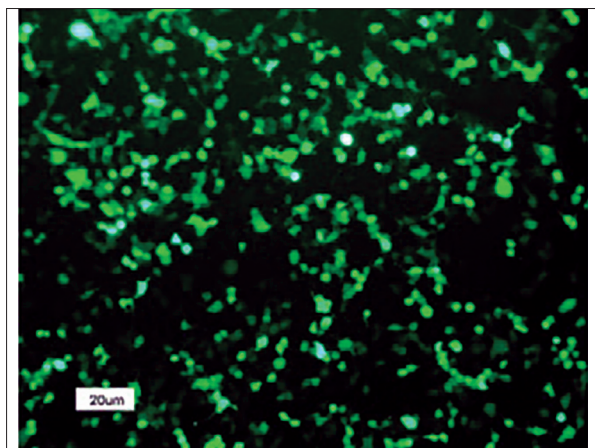
تصویر ۱. افزوده سازی ژن های BVDV-NS3 و BVDV-5'UTR و پبرش پلاسمید pWPI-Linker B. تصویر چپ: RT-PCR به منظور تریاید BVDV-NS3 و BVDV-5'UTR پس از تلفیح ویروس به رده سلولی BT: از راست به چپ: کنترل منفی NS3، باند (223bp)، کنترل منفی 5'UTR، باند (380bp)، مارکر سایز 1000bp. تصویر راست: هضم منفرد و دوگانه پلاسمید pWPI-Linker B از راست به چپ: هضم دوتایی pWPI-Linker B، هضم منفرد B، pWPI-Linker B، مارکر سایز 1000bp.

## بحث

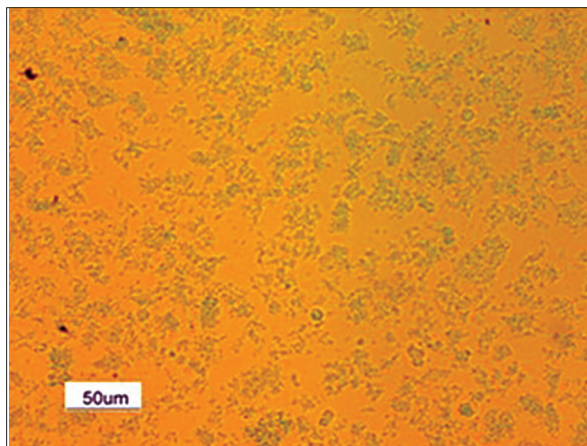
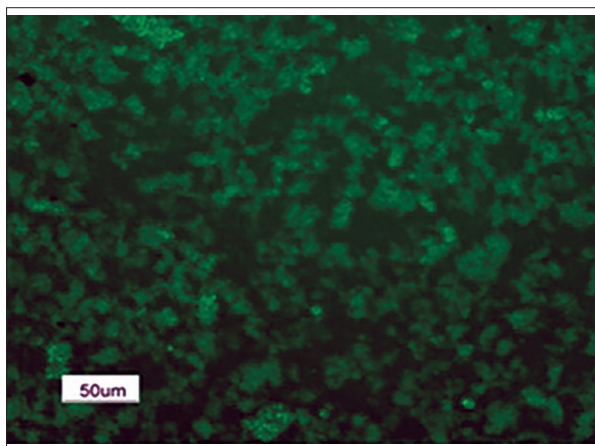
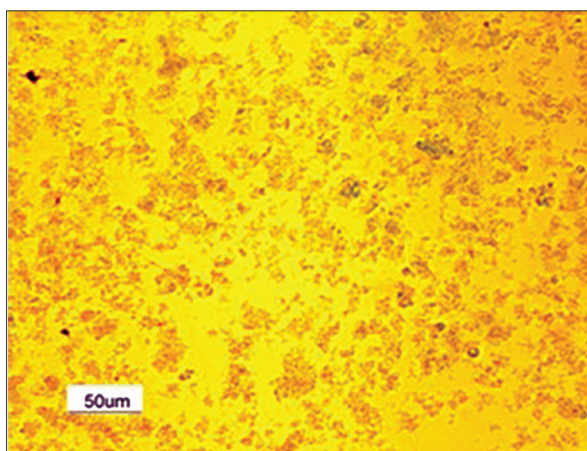
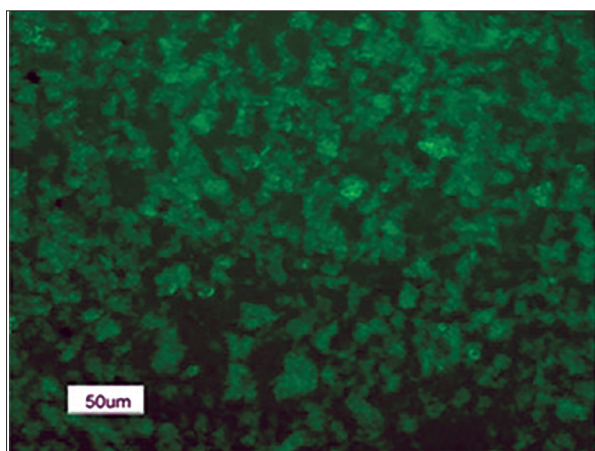
همان طور که در مقدمه ذکر گردید بیماری BVD در فارم های پرورش گاو به دلیل طبیعت مزمن و پیشرونده، تحلیل توان گله، توان و قابلیت بالای تسری این ویروس از گاو های بیمار به سالم، معضل حضور گوساله های PI (مخازن دائم ویروس)، راه های فراوان انتشار مستقیم و غیر مستقیم بیماری، حفظ و انتشار ویروس توسط تعدادی از گونه های حیوانی و وجود تحت ژنوتیپ ها و سویه های آنتی ژنی زیاد ویروس که دستیابی به یک واکسن کارآمد برای ویروس های شایع را دشوار می نماید اهمیت دارد. همه این موارد سبب شده است به کارگیری روش های کنترلی این ویروس ضروری و در عین حال دشوار باشد (۲۸، ۱۳، ۸). تغییرات مداوم در نواحی آنتی ژنیک ویروس خصوصاً پادگن های اصلی C، E<sup>1</sup> و E<sup>2</sup> و تشکیل موتانت های فراری که با گریز از سیستم ایمنی میزبان چه همورال و چه سلولی دسترسی به پاسخ دفاعی با کفایت و دائمی یا طولی مدت و در عین حال مؤثر از طریق ایمن نمودن فعال و غیر فعال گاو را دشوار نموده است. متکی بودن اکثر روش های پیشگیرانه موجود علیه ویروس به گلیکوپروتئین و پروتئین های یاد شده از عوامل حائز اهمیت در توفیق متوسط یا اندک برنامه های کنترل بیماری است (۲۸، ۱۹، ۱۳، ۸، ۷). هدف کاربردی از این پژوهش تهیه یک رده سلولی مناسب بیان کننده ژن هایی از BVDV به منظور ارزیابی جدیدترین استراتژی های درمانی و پیشگیرانه شناخته شده در درمان ضد ویروسی در دام پزشکی و آگاهی از میزان کارآمدی و رضایت بخشی راهبردهای دفاعی پیشنهاد شده علیه این ویروس است و برای ورود به مراحل تکمیلی اعم از آزمایشات *in vivo* و بررسی های بالینی در حیوان میزبان اصلی ضروری و گریز ناپذیر به نظر







تصویر ۳. ترانسفکشن سلول های HEK-293T با پلاسمیدهای لنتی ویروسی بیان کننده BVDV NS3 و BVDV 5'UTR در قالب سیستم بسته بندی لنتی ویروسی نسل ۳. سمت چپ: میزان GFP مشاهده شده پس از ترانسفکشن pWPI-Linker B-5'UTR در قالب سیستم بسته بندی لنتی ویروسی نسل ۳. سمت راست: میزان GFP مشاهده شده پس از ترانسفکشن pWPI-Linker B- NS3 در قالب سیستم بسته بندی لنتی ویروسی نسل ۳.



تصویر ۴. عفونت سلول های MDBK با لنتی وکتورهای بیان کننده BVDV NS3 و BVDV 5'UTR. تصاویر بالا: شکل چپ: میزان GFP مشاهده شده پس از عفونت با لنتی وکتور بیان کننده BVDV NS3 - شکل راست: همان تصویر، merge شده با تصویر میکروسکوپ نوری. تصاویر پایین: شکل چپ: میزان GFP مشاهده شده پس از عفونت با لنتی وکتور بیان کننده BVDV 5'UTR - شکل راست: همان تصویر، merge شده با تصویر میکروسکوپ نوری.

طراحی شده اند که غیر پاتوژن هستند و به دلیل ماهیت ویروسی شان با صرف زمان و هزینه کمتری در مقایسه با استفاده از وکتورهای پلاسمیدی میزان بسیار زیادی از آنها را می توان در آزمایشگاه تولید نمود و به مصرف

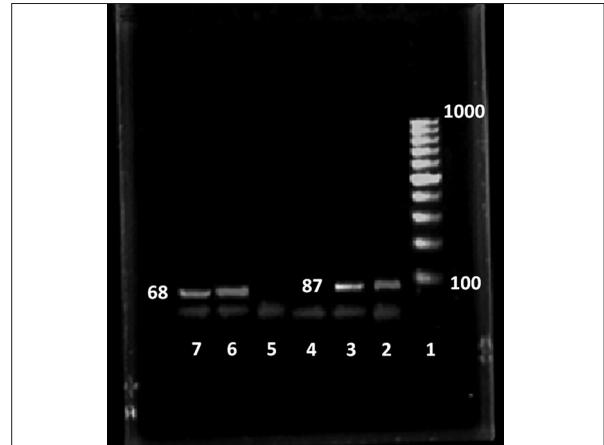
ژن را فراهم می کنند. علاوه بر این، کارآمدی تحویل ژن به سلول هدف در مورد آنها تقریباً ۱۰۰٪ است. اعتبار یا Validity زیادی دارند و عملاً پاسخ التهابی کمی را در زمان ورود به سلول هدف بر می انگیزند. به شیوه ای





زمان هدف قرار دهد و ظرفیت بالایی برای غربالگری داروهای ضد BVDV داشته باشد گزینه مناسبی است. ویروس‌های واجد RNA تک رشته‌ای سنس مثبت می‌توانند با سیستم ژنتیک رونوشت برداری معکوس که یک ابزار قدرتمند برای بررسی بسیاری از جنبه‌های زندگی ویروس و رشد آن فراهم می‌کند در شرایط آزمایشگاه بازسازی شوند. تاکنون چندین ویروس نو ترکیب و رپلیکون‌های تحت ژنومی با اعضای خانواده فلیوی ویریده از کلون‌های cDNA ویروسی تهیه شده‌اند. چنانچه برای BVDV تلاش‌هایی برای تهیه یک سیستم رونوشت برداری معکوس که به آسانی قابل دست‌ورزی باشد توسط تعداد معدودی از گروه‌های تحقیقاتی انجام شده است در دهه گذشته برای تولید BVDV نو ترکیب وابسته به سلول چند گام مهم برداشته شد. برای مثال با به کارگیری وکتور BAC ژنوم ویروسی با تکثیر در باکتری تثبیت و پایدار گردید. مطابق تحقیقات انجام شده، مشخص گردید BVDV یک وکتور ویروسی مناسب برای بیان پروتئین‌های هترولوگ نظیر eGFP ادغام شده بین پروتئین‌های  $N^{pro}$  و C است. در نهایت با استفاده از داده‌های حاصل از این پژوهش‌ها یک BVDV گزارشگر و بیان کننده eGFP ادغام شده بین NS3 و NS4A با استفاده از cDNA BAC عفونی و pBSD1 باز مینه سوبه SD1 از BVDV توسط Fan و همکاران در سال ۲۰۱۲ تولید گردید. علیرغم مزیت بسیار بالای ویروس گزارشگر BVDV در غربالگری داروهای ضد ویروسی طراحی شده علیه تمامی پروتئین‌های ویروس اعم از ساختاری و غیر ساختاری، این سیستم غربالگری معیایی نیز دارد. اول آنکه طراحی و تولید دقیق آن زمانبر بوده و داشتن اطلاعات دقیق بیوانفورماتیک و بیوتکنولوژی یک برای تهیه ویروس گزارشگر نو ترکیب ضروری است.

یک ویروس گزارشگر مونسیترونی با یک پروتئین غربالگر سبز درخشان تقویت شده (eGFP) به عنوان مارکر مهندسی شده برای کاهش اثر ادغام خارجی و نابجا در تکثیر ویروسی و رشد آن، ژن *eGFP* طراحی شد. محل ادغام ژن گزارشگر در ژنوم BVDV نقش بسیار مهمی در صحت عملکرد ویروس گزارشگر دارد. زیرا ژنوتیپ و فنوتیپ ویروس نو ترکیب نباید با ادغام ژن گزارشگر دچار تغییر شود و از سویی دیگر تکثیر و بیان گزارشگر باید نه تنها در تکثیر و بیان پیش ساز پلی پروتئین اولیه اختلال ایجاد نکند بلکه می‌بایست تقویت کننده این تکثیر نیز باشد. پس از ادغام ژن گزارشگر در یک جایگاه مناسب در ویروس والد، مقدار RNA و پروتئین ویروس نو ترکیب و والد آن و بیشینه بازده ویروسی در یک زمان معین نباید تفاوت چندانی داشته باشند تا ارزیابی درستی در هنگام غربالگری‌های ضد ویروسی در اختیار پژوهشگر قرار دهند. بیان ژن گزارشگر و شدت فلورسانس آن با تکثیر ویروس گزارشگر ارتباط مستقیم دارد و در موارد زیادی به دلیل ضعف در طراحی ویروس نو ترکیب شدت این فلورسانس کمتر از مقدار تایید شده برای غربالگری صحیح داروی ضد ویروسی است. از سویی دیگر به دلیل تنوع و تغییرات ژنتیکی فراوانی که در ژنوتیپ ویروس‌های RNA اتفاق می‌افتد برای تولید ویروس نو ترکیب در یک



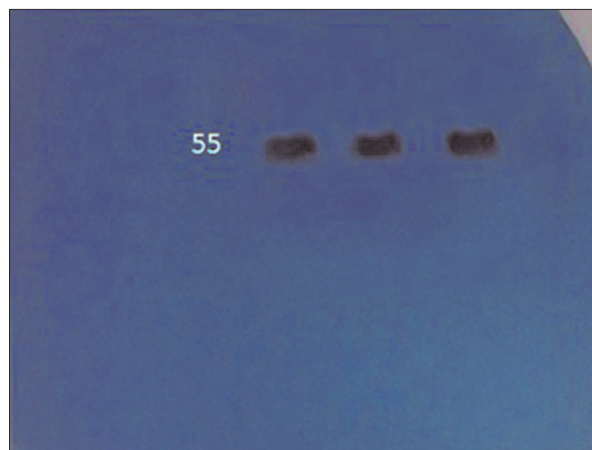
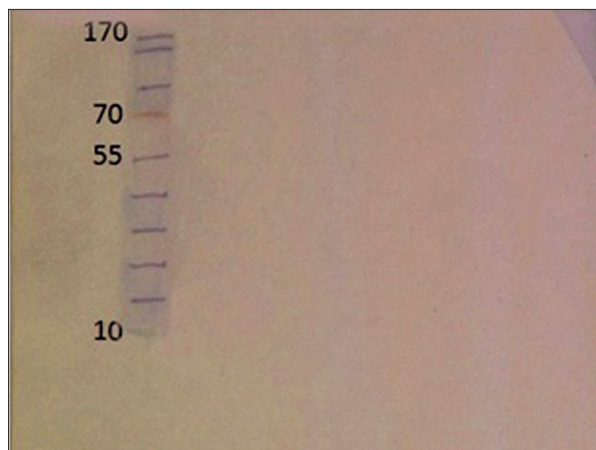
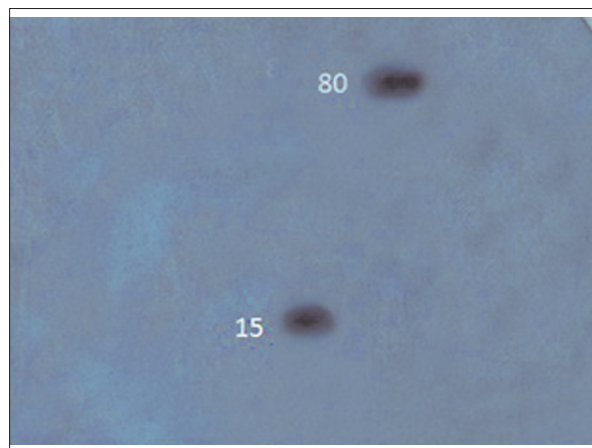
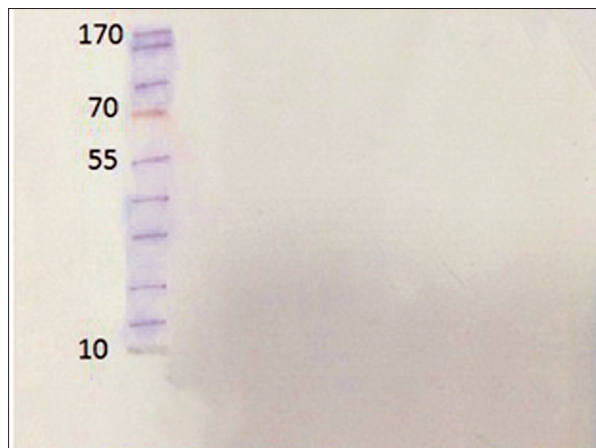
تصویر ۵. RT-PCR به منظور تایید بیان BVDV 5'UTR و BVDV NS3 در سلول‌های MDBK. از راست به چپ: مارکر سایز، NS3 MDBK، کنترل مثبت: NS3 BVDV، کنترل منفی NS3، کنترل منفی 5'UTR MDBK، کنترل مثبت: BVDV 5'UTR.

استفاده انتقال ژن رساند.

استفاده از وکتورهای لنتی ویروسی تأثیر پایدارتری داشته و اثرات نابجای بسیار کمتری در اثر برانگیخته شدن سیستم دفاعی ذاتی نسبت به سایر وکتورهای ویروسی دارد. در عین حال لنتی وکتورها قادر به آلوده نمودن طویل‌المدت بسیاری از رده‌های سلولی اعم از فعال و در حال تقسیم یا ساکن و بدون تقسیم هستند. علاوه بر این قابلیت انتقال قطعات بزرگ ژنی (تا ۳۰۰۰ جفت باز) را دارند و از این نظر بر سایر وکتورهای ویروسی نظیر آدنووکتور، رترو وکتور و وکتورهای ویروسی مرتبط با آدنووکتور (AAV) ارجحیت دارند و به دلیل فراوانی کمتر ادغام ژنوم لنتی وکتور هادر نزدیکی یا میان پروتئین‌های سلولی نسبت به رترو وکتورها، احتمال موتاژن و سرطان‌زایی در اثر ادغام ژنوم وکتورهای لنتی ویروسی کم است (۴،۶،۸،۱۲،۲۲،۲۳،۲۵).

وجود تنوع آنتی ژنی قابل ملاحظه در BVDV یک مانع اصلی برای توسعه کارآمدی واکسن‌های جدید است. بنابراین داروهای ضد BVDV یک استراتژی جدید برای کنترل عفونت BVDV هستند. در دهه گذشته غربالگری داروهای ضد BVDV و HCV در شرایط *in vivo* در سیستم‌های سلولی از دو طریق هدف قرار دادن هدف قرار دادن رپلیکون‌های تحت ژنومی و نیز هدف قرار دادن کل ذره عفونی ویروس BVDV انجام شده است. با هدف گیری رپلیکون‌های تحت ژنومی BVDV تنها نواحی غیر ساختاری قابل بررسی بوده و نواحی ساختاری BVDV در این خصوص قابل مطالعه نیستند. در عین حال هدف قرار دادن کل ذرات عفونی BVDV، زمان بر بوده و روش‌های RT-PCR کمی بسیار زمان‌بر و طاقت‌فرسا باید انجام شود. طراحی یک ویروس گزارشگر مونسیترونی با یک پروتئین غربالگر درخشان برای توسعه یک ابزار غربالگری که پروتئین‌های ساختاری و غیر ساختاری ویروس را به طور هم





تصویر ۶. وسترن بلائینگ به منظور تایید بیان BVDV NS3 در سلول های MDBK. ردیف بالا: راست: غشای PVDF - چپ: فیلم رادیوگرافی پس از ظهور باند مربوط به کنترل مثبت: BVDV-NS3 (سمت راست) به اندازه ی ۸۰ کیلودالتون و MDBK-NS3 serine protease به اندازه ی تقریبی ۱۵ کیلودالتون (سمت چپ). ردیف پایین: فیلم رادیوگرافی پس از ظهور باند مربوط به آلفاتوبولین به اندازه ی ۵۵ کیلودالتون در کنترل منفی، کنترل مثبت (BVDV-NS3) و نمونه ی مورد آزمون (MDBK-NS3) (از راست به چپ).

مشابهت های ساختاری BVDV و HCV، مطالعات انجام شده بر روی این ویروس به عنوان الگویی برای بررسی در مورد BVDV مطرح شده اند و به همین ترتیب BVDV نیز در بعضی از پژوهش ها مدل جانشین HCV بوده است (۱۳). بر این اساس از پژوهش انجام شده بر HCV برای تهیه رده سلولی بیان کننده ژن هایی از BVDV الگو برداری شد. با این وجود به دلیل تفاوت نوع سلول های استفاده شده برای بیان ژن های هر یک از این دو ویروس و تفاوت در پلاسמיד های لنتی ویروسی استفاده شده در سیستم بسته بندی نسل سوم در هر مطالعه، هرگونه مقایسه کمی در مورد کار آمدی سلول ها در بیان ژن های مد نظر غیر واقعی و غیر علمی به نظر می رسد و تا حدودی قیاس در موارد محدودی از جمله نوع ژن های انتخاب شده برای انتقال به وکتور لنتی ویروسی و نیز نوع سیستم بسته بندی امکان پذیر است. در این خصوص Henry و همکاران در سال ۲۰۰۶ در مورد میزان و نحوه هدف قرار دادن تکثیر و اتصال ویروس HCV با استفاده از کاست های RNAi ارائه شده در وکتور های لنتی ویروسی آلوده کننده رده سلولی Huh-7 پژوهشی انجام دادند و بدین منظور با استفاده از لنتی وکتور های ایجاد شده در سیستم بسته بندی نسل سوم بیان *NS5b*، *NS3*

مطالعه، حضور ویروس والد معتبر اولیه و یا کلون cDNA معتبر آن ضروری است و برای سنتز ژنوم ویروس از طریق داده های بیوانفورماتیک به گونه ای که فنوتیپ ویروس نو ترکیب حاصله با ویروس والد متفاوت نباشد، اطلاعات دقیق زیستی و بیوانفورماتیک و صرف زمان زیاد گریز ناپذیر است. از سویی دیگر اثرات سایتوتوکسیک ویروس گزارشگر در سیستم کشت سلول میزبان باید حداقل میزان ممکن باشد تا غربالگری های دارویی بعدی به درستی انجام شود (۲).

به دلایل ذکر شده، از وکتور های لنتی ویروسی برای القای بیان ژن های مورد نظر از BVDV استفاده گردید. متأسفانه در مورد تهیه کلون سلولی بیان کننده ژن هایی از BVDV با استفاده از عفونت با لنتی وکتورها یا ترانسفکشن توسط وکتور پلاسמיד مطالعه ای در دسترس نیست و به این دلیل مقایسه روش به کار گرفته شده در این پژوهش به منظور بیان ژن هایی از BVDV در رده سلولی MDBK با مطالعه ای مشابه و ارزیابی مقایسه ای کار آمدی کلون سلولی تولید شده در قیاس با حداقل یک پژوهش مرتبط امکان پذیر نمی باشد. اما در این زمینه مطالعات محدودی بر روی ویروس بسیار مشابه HCV، از خانواده فلیوی ویریده وجود دارد. به دلیل



## References

1. Carmona, M.A., Quasdorff, M., Vogt, A., Tamke, A., Yildiz, Y., Hoffmann, P., Lehmann, T., Bartenschlager, R., Engels, J.W., Kullak-Ublick, G.A., Sauerbruch, T., Caselmann, W.H. (2012) Inhibition of hepatitis C virus RNA translation by antisense bile acid conjugated phosphorothioate modified oligodeoxynucleotides (ODN). *Antiviral Res.* 97: 49-59.
2. Fan, Z.C., Bird, R.C. (2012) Development of a reporter bovine viral diarrhea virus and initial evaluation of its application for high throughput antiviral drug screening. *J Virol Methods.* 180: 54-61.
3. Gamlen, T., Richards, K.H., Mankouri, J., Hudson, L., McCauley, J., Harris, M., Macdonald, A. (2010) Expression of the NS3 protease of cytopathogenic bovine viral diarrhea virus results in the induction of apoptosis but does not block activation of the beta interferon promoter. *J Gen Virol.* 91: 133-144.
4. Haga, K., Lemp, N.A., Logg, C.R., Nagashima, J., Faure-Kumar, E., Gomez, G.G., Kruse, C.A., Mendez, R., Stripecke, R., Kasahara, N., Cicciarelli, J.C. (2006) Permanent, lowered HLA class I expression using lentivirus vectors with shRNA constructs: Averting cytotoxicity by alloreactive T-lymphocytes. *Transplant Proc.* 38: 3184-3188.
5. Hemmatzadeh, F., Momtaz, H., Keyvanfar, H., Banihasan, E. (2006) Antigenic pattern of BVD viruses isolated in Iran. *Indian Vet J.* 83: 1048-1050.
6. Henry, S.D., van der Wegen, P., Metselaar, H.J., Tilanus, H.W., Scholte, B.J., van der Laan, L.J. (2006) Simultaneous targeting of HCV replication and viral binding with a single lentiviral vector containing multiple RNA interference expression cassettes. *Mol Ther.* 14: 485-493.
7. Houe, H. (2003) Economic impact of BVDV infection in dairies. *Biologicals.* 31: 137-143.
8. Jordao, R.S., Ribeiro, C.P., Pituco, E.M., Okuda, L.H., Claudia Del Fava, C.D., Stefano, E., et al. (2011) Serological response of guinea pigs to oily and aqueous inactivated vaccines containing a Brazilian isolate of the Bovine Viral Diarrhea Virus

و *IRES* از *5'UTR* در این رده ی سلولی القا شده و تغییر میزان بیان ژن پس از القای RNAi با استفاده از آزمون های فلوسایتومتری و time PCR مورد بررسی و ارزیابی قرار گرفت (۸). مطالعه مشابهی توسط Li و همکاران در سال ۲۰۱۰ با استفاده از وکتورهای رتروویروسی آلوده کننده رده سلولی GP2-293 و القای بیان *N<sup>pro</sup>* و *NS4A* از CSFV از خانواده فلیوی ویروس و بریده انجام شده و به منظور بررسی تغییر میزان بیان ژن صرفاً از آزمون Real time PCR استفاده گردیده است (۱۴). از لنتی وکتورها به منظور القای بیان ژن هایی از ویروس های FMDV، HIV، لوکوز طیور، هاری و غیره نیز استفاده شده است که به دلیل عدم تشابه خانواده ویروسی با BVDV از ذکر جزئیات پرهیز می گردد (۲۳). در این مطالعه با در نظر گرفتن اهمیت بخش های *NS3* و *5'UTR* و با استفاده از سیستم بسته بندی نسل سوم لنتی ویروسی کلون سلولی MDBK بیان کننده این دو ژن با موفقیت تولید گردیده و برای ارزیابی روش های درمانی و پیشگیرانه علیه این ویروس قابل استفاده می باشد. توفیق این پژوهش در تولید این رده سلولی برای اولین بار، در درجه اول کفایت سلول های MDBK را در عفونت با لنتی وکتورهای ارائه کننده ژن های مورد نظر نشان می دهد. در وهله دوم ابزار بسیار مناسبی برای ارزیابی درمان ها و واکسن های ضد BVDV در شرایط آزمایشگاه و سیستم کشت سلول در دسترس قرار داده است.

## تشکر و قدردانی

نویسندگان بر خود لازم می دانند از حمایت های مالی صندوق ملی حمایت از پژوهشگران و زیست فناوریان ریاست جمهوری (در قالب طرح شماره ۹۰۰۰۸۰۰۷)، معاونت پژوهشی دانشکده دامپزشکی دانشگاه تهران (در قالب طرح پایان نامه دوره Ph.D شماره ۲۸۰۸۸/۶/۷) و پژوهشگاه ملی مهندسی ژنتیک و زیست فناوری قدردانی نمایند. در عین حال مراتب تشکر صمیمانه از حمایت های علمی و اجرایی آقایان دکتر فالکواشتینباخ، دکتر دستجردی، دکتر فرجی، دکتر لطفی و دکتر برین اعلام می گردد.

(BVDV). *Res Vet Sci.* 91: 311-315.

9. Kargar Moakhar, R., Hemmatzadeh, F. (2004) A Survey for detecting pestivirus antigen in persistently infected cattle around Tehran. *Pajouhesh & Sazandegi.* (In Persian). 63: 21-25.
10. Keyvanfar, H., Hemmatzadeh, F. (2000) Effects of NADL strain of BVD virus on sheep white blood cells. *J Vet Res.* 55: 17-20.
11. Khaliq, S., Khaliq, S.A., Zahur, M., Ijaz, B., Jahan,





- S., Ansar, M., Riazuddin, S., Hassan, S. (2010) RNAi as a new therapeutic strategy against HCV. *Bio-technol Adv.* 28: 27-34.
12. KuÈmmerer, B. M., Tautz, N., Becher, P., Thiel, H., Meyers, G. (2000) The genetic basis for cytopathogenicity of pestiviruses. *Vet Microbiol.* 15: 117-128.
  13. Lambeth, L.S., Moore, R.J., Muralitharan, M.S., Doran, T.J. (2007) Suppression of bovine viral diarrhea virus replication by small interfering RNA and short hairpin RNA-mediated RNA interference. *Vet Microbiol.* 119: 132-143.
  14. Li, J., Guo, H., Shi, Z., Tu, C. (2010) In vitro inhibition of CSFV replication by retroviral vector-mediated RNA interference. *J Virol Methods.* 169: 316-321.
  15. Lv, K., Guo, Y., Zhang, Y., Wang, K., Li, K., Zhu, Y., Sun, S. (2009) Transient inhibition of foot-and-mouth disease virus replication by siRNAs silencing VP1 protein coding region. *Res Vet Sci.* 86: 443-452.
  16. Meyers, G., Thiel, H.J. (1996) Molecular characterization of pestiviruses. *Adv Virus Res.* 47: 53-118.
  17. Ni, W., Hu, S., Qiao, J., Yu, Y., Wang, D., Tong, Q., Zhang, Y., Chen, C. (2012) Suppression of bovine viral diarrhea virus replication by single and dual short hairpin RNA-mediated RNA interference. *Res Vet Sci.* 93: 544-548.
  18. Pankraz, A., Simone, P., Thiel, H.J., Gallei, A., Becher, P. (2009) A single point mutation in non-structural protein NS2 of bovine viral diarrhea virus results in temperature-sensitive attenuation of viral cytopathogenicity. *J Virol.* 83: 12415-12423.
  19. Poole, T.L., Wang, C.Y., Popp, R.A., Potgieter, L.N.D., Siddiqui, A., Collett, M.S. (1995) Pestivirus translation initiation occurs by internal ribosome entry. *Virology.* 206: 750-754.
  20. Randall, G., Grakoui, A., Rice, C.M. (2003) Clearance of Replicating Hepatitis C Virus Replicon RNAs in Cell Culture by Small Interfering RNAs. PNAS Publications, New York, USA.
  21. Randall, G., Rice, C.M. (2004) Interfering with hepatitis C RNA replication. *Virus Res.* 102: 19-25.
  22. Salmon, P., Trono, D. (2006) Production and Titration of Lentiviral Vectors. In: *Current Protocols in Neuroscience.* Sibley, D., McKay, R., Charles Gerfen, C., Rogawski, M. (eds.). John Wiley & Sons publications. Wiley Drive, USA. p. 4.21.1-4.21.24.
  23. Spurgers, K.B., Sharkey, C.M., Warfield, K.L., Bavari, S. (2008) Oligonucleotide antiviral therapeutics: Antisense and RNA interference for highly pathogenic RNA viruses. *Antiviral Res.* 78: 26-36.
  24. St-Louis, M.C., Massie, B, Archambault, D. (2005) The bovine viral diarrhea virus (BVDV) NS3 protein, when expressed alone in mammalian cells, induces apoptosis which correlates with caspase-8 and caspase-9 activation. *Vet Res.* 36: 213-227.
  25. Tiscornia, G., Singer, O., Verma, I.M. (2006) Production and purification of lentiviral vectors. *Nat Protoc.* 1: 241-245.
  26. Wilson, J.A., Richardson, C.D. (2005) Hepatitis C virus replicons escape RNA interference induced by a short interfering RNA directed against the NS5B coding region. *J Virol.* 79: 7050-8.
  27. Xu, J., Mendez, E., Caron, P.R., Lin, C., Murcko, M.A., Collett, M.S., Rice, CM. (1997) Bovine viral diarrhea virus NS3 serine proteinase: Polyprotein cleavage sites, cofactor requirements, and molecular model of an enzyme essential for pestivirus replication. *J Virol.* 71: 5312-5322.
  28. Zemke, J., Koenig, P., Mischkale, K., Reimann, I., Beer, M. (2010) Novel BVDV-2 mutants as new candidates for modified-live vaccines. *Vet Microbiol.* 142: 69-80.



## Design and production of a cell line expressing 5'UTR and NS3 genes of bovine viral diarrhea virus (BVDV) in order to evaluate the efficacy of treatments against this virus

Mokhtari, A.<sup>1</sup>, Madadgar, O.<sup>1\*</sup>, Massumi, M.<sup>2</sup>, Mahzounieh, M.R.<sup>3</sup>, Ghalyanchi langroudi, A.<sup>1</sup>

<sup>1</sup>Department of Microbiology and Immunology, Faculty of Veterinary Medicine, University of Tehran, Tehran-Iran

<sup>2</sup>Department of Stem Cells, National Institute of Genetic Engineering and Biotechnology (NIGEB), Tehran-Iran

<sup>3</sup>Department of Pathobiology, Faculty of Veterinary Medicine, University of Shahrekord, Shahrekord- Iran

(Received 2 September 2014, Accepted 19 December 2014)

### Abstract:

**BACKGROUND:** Bovine viral diarrhea virus (BVDV) causes significant economic and health effects in cattle farms. Because of the relative inefficiency of BVDV eradication programs, in recent years, numerous strategies such as anti-viral gene therapy has been used extensively to fight it. One of the ways to evaluate the quality of these anti-viral strategies is the study of their efficacy in the specific cell lines expressing those viral genes through the induction of gene expression by transfection of plasmids or infection of viral vectors. **OBJECTIVES:** This study was performed for preparation of a cell line expressing some portions of BVDV genome to evaluate the efficacy of preventive and therapeutic strategies against this virus. **METHODS:** After the culture of BVDV NADL, vRNA was extracted and proliferation of 5'UTR and NS3-coding genes and cloning of these gene segments was performed in the upstream of GFP gene in pWPI-linker B lentivirus plasmid. After confirmation of cloning, lentiviral vector containing BVDV-NS3 and BVDV-5'UTR were generated in 293T cells using third-generation packaging system. Then MDBK cells persistently express 5'UTR and NS3 were generated by the infection with lentiviral vectors containing BVDV-NS3 and BVDV-5'UTR. **RESULTS:** The efficacy of infection with lentiviral vectors carrying transgenes, examined by fluorescence microscopy, Western blotting and RT-PCR tests, were compared with control groups and the presence and expression of the above mentioned genes were confirmed. **CONCLUSIONS:** The results indicate that the successful production of a MDBK cell line expressing both genes of BVDV and lentiviral vectors are preferred to the others for their persistent and long-term gene expression in several cell generations and the ability to infect many different cell lines.

**Key words:** BVDV, infection, lentiviral vector, MDBK, transfection

### Figure Legends and Table Captions

**Figure 1.** Amplification of BVDV-NS3 and BVDV - 5'UTR and digestion of pWPI-Linker B.

**Figure 2.** Production of pWPI-Linker B- NS3 and pWPI-Linker B- 5'UTR recombinant plasmids.

**Figure 3.** Transfection of HEK-293T cells with the lentivirus plasmids expressing the BVDV NS3 and BVDV 5'UTR in a third-generation lentiviral packaging system.

**Figure 4.** Infection of MDBK cells with lentiviral vectors expressing BVDV NS3 and BVDV 5'UTR.

**Figure 5.** RT-PCR test to confirm the expression of BVDV 5'UTR and BVDV NS3 in MDBK cells.

**Figure 6.** Western blotting to confirm the expression of BVDV NS3 in MDBK cells.



\*Corresponding author's email: [omadadgar@ut.ac.ir](mailto:omadadgar@ut.ac.ir), Tel: 021-66427517, Fax: 021-61117053

J. Vet. Res. 69, 4:311-323, 2014